

# 图形处理中一类 Flow-shop 问题的改进算法

蒋义伟<sup>1</sup> 魏麒<sup>2</sup>

**摘要** 考虑图形处理中的一类两台处理器上的 Flow-shop 调度问题, 目标是极小化最早完工时间. 每个任务包含两道工序, 第一道工序可以在两台处理器中的任何一台上处理, 而第二道则只能在第二台处理器上处理, 且必须在第一道工序完工之后才能进行. 对该问题, 设计了一个改进的多项式时间近似算法, 在绝对性能方面, 该算法的最坏情况界为  $3/2$ ; 而从实例计算的平均效果方面, 该算法所得的结果比原有的贪婪算法所得的结果要好 20% 左右.

**关键词** 调度, 近似算法, 最早完成时间, 流水作业

**DOI** 10.3724/SP.J.1004.2011.01381

## An Improved Algorithm for a Hybrid Flow-shop Problem in Graphics Processing

JIANG Yi-Wei<sup>1</sup> WEI Qi<sup>2</sup>

**Abstract** This paper considers a variant of scheduling problem of minimizing makespan in a two-machine flow-shop. In this variant, each job has two tasks. The first task can be processed on either machine while the second task must be processed on the second machine and cannot be processed unless the first task has been processed. The second task is allowed to be processed at any time after completing the first task. We present an improved polynomial time approximation algorithm with worst-case ratio of  $3/2$ , which is 20% better than the greedy-like algorithm in the average case.

**Key words** Scheduling, approximation algorithm, makespan, flow-shop

本文考虑一类特殊 Flow-shop 调度模型, 该模型主要应用于计算机图形处理中<sup>[1]</sup>, 图形程序处理包括前期的数据处理和后期的图形处理, 后者必须在前者处理完毕后才能处理. 数据处理既可以通过 CPU 也可以通过 GPU 进行处理, 而图形处理则只能通过 GPU. 目标是通过合理安排使得所有图形都处理完的时间尽可能的早. 因此我们将 CPU 和 GPU 看作两台 Flow-shop 处理器, 将数据处理和图形处理看成两道不同的工序, 就可转化为我们所考虑的调度问题. 具体描述如下: 有  $n$  个任务  $J_1, J_2, \dots, J_n$  必须在两台处理器  $M_1$  和  $M_2$  上进行处理. 每个任务  $J_i$  包含两道工序  $A_i$  和  $B_i, i = 1, 2, \dots, n$ . 工序  $A_i$  可以在处理器  $M_1$  或  $M_2$  上处理, 处理时间为  $a_i$ , 而工序  $B_i$  只能在  $M_2$  上处理, 时间为  $b_i$ , 并且只能在工序  $A_i$  完成后才能进行处理. 假设所有的任务在零时刻就已知并且工序在处理过程中不允许中断. 对一个给定的调度计划, 记  $S_{A_i}(S_{B_i})$  和  $C_{A_i}(C_{B_i})$  为工序  $A_i(B_i)$  的开工时间和

完工时间. 目标是极小化所有任务的最大完工时间, 即  $C_{\max} = \max\{C_{B_i}\}$ .

从上述描述可以看出本文考虑的问题与经典的两台处理器 Flow-shop 调度问题不同, 经典的问题每个任务的加工方式都是相同的, 即都是第一道工序在第一台机, 第二道工序在第二台机上处理. 与这类问题较为相关的模型还有 Kouvelis 等<sup>[2]</sup> 提出的一类混合 Flow-shop 问题 (Hybrid flow-shop, HFS), 该问题假设任务的两道工序都可以在同一台机器上进行处理或者第一道工序在第一台机器, 第二道工序在第二台机器上处理, 不难看出任务的处理方式有三种. 文中证明了该问题是 NP 难的, 并给出了一个基于动态规划的最优算法和一个伪多项式时间近似算法. Vairaktarakis 等<sup>[3]</sup> 考虑了另外的情况, 第二道工序必须在第一道工序完工后才能加工, 第一道工序可以单独在第一台机器上处理, 也可以用较少的时间在两台机器上同时进行并行处理, 第二道工序可以单独在第二台机器上处理, 也可以用较少的时间在两台机器上同时进行处理, 他们给出了一个动态规划算法和一个最坏情况界为 1.618 的多项式时间近似算法. 文献 [4] 则考虑了一类有回流的混合 Flow-shop 问题, 分别考虑了在第二阶段为单机和两台同型机的情形, 对于前者证明了多项式时间可解并给出了算法, 对于后者证明了该情况是 NP 难的, 给出了动态规划和启发式算法. 此外还有文献研究带机器不确定维护时间的 Flow-shop 问题<sup>[5]</sup>. 关于 Flow-shop 调度问题, 还有很多文献通过

收稿日期 2011-01-21 录用日期 2011-06-13

Manuscript received January 21, 2011; accepted June 13, 2011  
国家自然科学基金 (11001242, 11071220), 浙江省自然科学基金 (Y6090175, Y6090554) 资助

Supported by National Natural Science Foundation of China (11001242, 11071220) and Zhejiang Province Natural Science Foundation of China (Y6090175, Y6090554)

1. 浙江理工大学理学院 杭州 310018 2. 浙江大学宁波理工学院 宁波 315100

1. Faculty of Science, Zhejiang Sci-Tech University, Hangzhou 310018 2. Ningbo Institute of Technology, Zhejiang University, Ningbo 315100

遗传算法等优化方法来求解<sup>[6-10]</sup>, 文献 [11] 则考虑了任务具有三道工序的两台机混合流水作业问题, 分别给出了近似算法和多项式时间近似方案 (Polynomial time approximation scheme, PTAS).

本文所考虑的问题最早由 Wei 等<sup>[1]</sup> 提出, 记为半混合流水作业 (Semi-hybrid flow-shop, SHFS). 他们证明了该问题是 NP 难的, 文献 [12] 证明该问题贪婪算法的最坏情况界为 5/3, 并给出了一个最坏情况界为 8/5 的改进算法. 本文接下来将基于文献 [11] 的思想给出一个更好的多项式时间近似算法, 该算法提出四种调度方案并从中选择结果最好的作为输出. 在近似算法的绝对性能方面, 证明了最坏情况界为 3/2; 而在平均效果方面, 通过实例计算发现, 该算法所得的结果要比原有的贪婪算法的结果要好 20% 左右.

### 1 问题的初步分析

由问题的描述不难看出, 每个任务的处理方式有两种选择: 一种是将两道工序  $A_i$  和  $B_i$  都放在机器  $M_2$  上处理, 处理时间分别为  $a_i$  和  $b_i$ , 记这种方式为模式 1; 另一种称为模式 2, 即工序  $A_i$  先在  $M_1$  上处理, 时间为  $a_i$ , 然后  $B_i$  在  $M_2$  上处理, 时间为  $b_i$ . 因此, 对任意一个调度, 根据任务处理模式的不同, 可以将任务集  $V$  分成两个不交子集  $V_1$  和  $V_2$ , 其中  $V_i$  中的任务的处理模式为模式  $i, i = 1, 2$ .

注意到集合  $V_1$  中的任务的两道工序都是在  $M_2$  上处理, 因此对  $J_i \in V_1$ , 可以将该任务在两台机器上的处理时间分别记为  $p_i^1 = 0$  和  $p_i^2 = a_i + b_i$ , 而对  $J_i \in V_2$ , 在两台机器上的处理时间记作  $p_i^1 = a_i$  和  $p_i^2 = b_i$ . 不难看出, 在集合划分给定的情况下, 通过上述转化, 问题 SHFS 可以看做经典的两台机 Flow-shop 问题. 因此可以得到如下结论:

**引理 1.** 若任务集  $V$  已划分为  $V_1$  和  $V_2$  两个子集, 则 SHFS 可由 Johnson 规则<sup>[13]</sup> 在  $O(n \log n)$  时间内给出最优调度.

由此不难得到如下结论:

**引理 2.** 存在一个 SHFS 的最优调度 (图 1) 满足以下性质:

1) 所有  $V_1$  中的任务都在  $V_2$  中的任务之前完工;

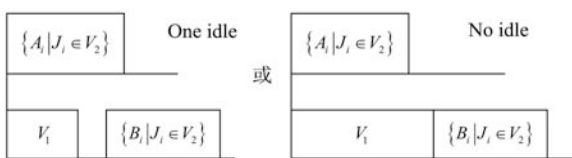


图 1 满足引理 2 的最优调度

Fig. 1 Optimal scheduling satisfying Lemma 2

- 2)  $V_2$  中的任务按照 Johnson 规则进行处理;
- 3) 机器  $M_1$  不存在空闲时间;
- 4) 机器  $M_2$  至多只有一个空闲时间段, 若存在则必在  $V_1$  的最后一个任务和  $V_2$  中的第一个任务之间.

若  $V_1$  中任务的两道工序之间允许插入其他任务的工序, 记这样的 SHFS 问题为 ReSHFS. 下面的引理说明 ReSHFS 并不会降低原问题的最优目标值.

**引理 3.** ReSHFS 的最优目标值不会小于原问题 SHFS 的最优目标值.

**证明.** 设  $S$  是 ReSHFS 关于给定  $V_1$  和  $V_2$  的一个最优调度. 对任意的  $J_i \in V_1$ , 若  $A_i$  和  $B_i$  之间存在其他工序, 则将工序  $B_i$  移到  $A_i$  的后面, 而之间的工序都按序往后移. 显然经过这样的调整后, 该调度仍然可行, 并且最优目标值不会改变, 因此调整后的调度还是 ReSHFS 的最优调度. 进一步, 调整后的调度是 SHFS 的一个可行调度. 由此可得 ReSHFS 的最优目标值不会小于 SHFS 的最优目标值.  $\square$

由上面结论可以看出, SHFS 问题可以找到最优调度, 使得在  $V_1$  中任务的两道工序之间不存在其他任务的工序, 因此, 可以说 ReSHFS 调度是 SHFS 的一个可行调度.

分别记  $C_{\max}(S(H))$  和  $C_{\max}(S^*)$  为近似算法  $H$  的目标值和最优目标值. 下面的引理给出了最优目标值的下界.

**引理 4.** 问题 SHFS 的最优目标值

$$C_{\max}(S^*) \geq \max \left\{ \max_{1 \leq i \leq n} (a_i + b_i), \frac{1}{2} \sum_{i=1}^n (a_i + b_i) \right\}$$

**证明.** 由于每个任务的处理时间为  $a_i + b_i$ , 则第一个式子显然成立. 又因为是两台机器加工, 因此最优目标值至少为总处理时间的平均值, 即  $C_{\max}(S^*) \geq \frac{1}{2} \sum_{i=1}^n (a_i + b_i)$ .  $\square$

### 2 近似算法

本节将给出问题 SHFS 的一个多项式时间近似算法, 并证明其最坏情况界为 3/2. 进一步, 通过实例计算可以发现, 该算法不仅在绝对性能比上进行了改进, 而且在平均情况下, 目标值比原有的算法要小近 20%.

在给出算法之前, 我们首先引入经典的两台机平行机排序问题, 即  $P2||C_{\max}$ . 将问题 SHFS 的  $n$  个任务看成  $P2||C_{\max}$  的  $n$  个任务, 任务  $J_j$  的处理时间为第一道工序的时间  $a_j$ , 对这些任务应用 LS 算法<sup>[14]</sup> 进行调度, 记  $J_r$  是决定目标值的任务. 把与  $J_r$  在同一台机器上处理的任务 ( $J_r$  除外) 的集合记为  $V'$ , 另一台机器上的任务记为  $V''$ .

由引理 1 可知, 任务集一旦已经划分, 只需用 Johnson 规则便可得到给定划分的最优调度, 因此解决 SHFS 问题的关键在于集合的划分, 即任务的处理模式的划分.

接下来, 我们给出下面四种划分  $PS_i, i = 1, 2, 3, 4$ .

1)  $PS_1: V_1 = V, V_2 = \emptyset$ , 即所有任务都按模式 1 处理;

2)  $PS_2: V_1 = \emptyset, V_2 = V$ , 即所有任务都按模式 2 处理;

3)  $PS_3: V_1 = V'' \cup \{J_r\}, V_2 = V'$ , 即  $V''$  中的任务和  $J_r$  按模式 1 处理,  $V'$  中的任务按模式 2 处理;

4)  $PS_4: V_1 = V'', V_2 = V' \cup \{J_r\}$ , 即  $V''$  中的任务按模式 1 处理,  $V'$  中的任务和  $J_r$  按模式 2 处理.

根据上述划分, 给出多项式时间近似算法 H.

**算法 H.**

**步骤 1.** 将任务进行划分得到上述四种情况  $PS_i$ .

**步骤 2.** 对每一种划分  $PS_i, i = 1, 2, 3, 4$ .

**步骤 2.1.** 若  $J_i \in V_1$ , 记第一道工序处理时间为  $p_i^1 = 0$ , 第二道工序处理时间为  $p_i^2 = a_i + b_i$ ;

**步骤 2.2.** 若  $J_i \in V_2$ , 记第一道工序处理时间为  $p_i^1 = a_i$ , 第二道工序处理时间为  $p_i^2 = b_i$ ;

**步骤 2.3.** 按照 Johnson 规则进行两台机经典的 Flow-shop 调度, 由此可得到相应的 SHFS 的调度  $S(PS_i)$ .

**步骤 3.** 输出上面四种调度的最小目标值作为结果, 即  $C_{\max}(S(H)) = \min_{1 \leq i \leq 4} C_{\max}(S(PS_i))$ .

**2.1 最坏情况界分析**

**定理 1.**  $C_{\max}(S(H))/C_{\max}(S^*) \leq 3/2$ , 且界是紧的.

**证明.** 设  $S^*$  是问题 SHFS 的一个最优调度, 其中按照模式 1 和模式 2 处理的任务集分别记为  $V_1^*$  和  $V_2^*$ . 下面根据最优目标值的大小分两种情况进行讨论.

**情况 1.**  $\sum_{i=1}^n a_i \leq C_{\max}(S^*)$ . 这里我们考虑前两种调度  $S(PS_1)$  和  $S(PS_2)$ .

考虑第一种调度  $S(PS_1)$ . 先根据  $S^*$  构造 ReSHFS 的一个调度  $S_1$ : 所有  $J_i \in V_2^*$  的工序  $A_i$  (即原来在  $M_1$  上的那些工序) 转到  $M_2$  上从零时刻开始处理, 而原来  $S^*$  中在  $M_2$  处理的依次向后移 (如图 2). 不难看出调度  $S_1$  中任务的处理模式与  $S(PS_1)$  是相同的, 即所有任务都是按照模式 2 进行处理. 因  $S_1$  是  $S(PS_1)$  的一个 ReSHFS 调度, 根据引理 3 可知,  $S(PS_1)$  的目标值不会大于  $S_1$  的目标

值, 即

$$C_{\max}(S(PS_1)) \leq C_{\max}(S_1) = C_{\max}(S^*) + \sum_{J_i \in V_2^*} a_i \tag{1}$$

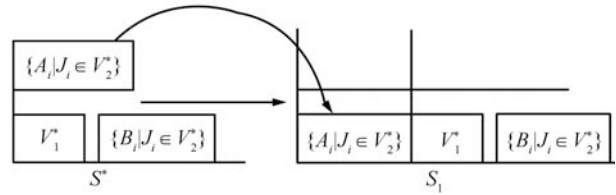


图 2 由  $S^*$  得到的一个调度  $S_1$   
Fig. 2 Schedule  $S_1$  from  $S^*$

接下来考虑第二种调度  $S(PS_2)$ . 同样先得到  $S^*$  的一个 ReSHFS 调度  $S_2$ : 将所有  $J_i \in V_1^*$  的工序  $A_i$  放在  $M_1$  上从零时刻开始处理, 而原来在  $M_1$  的工序则在其后面接着处理, 即所有  $J_i \in V_2^*$  的  $A_i$  按在  $S^*$  中的顺序从时刻  $\sum_{J_i \in V_1^*} a_i$  开始处理, 所有  $J_i \in V$  的工序  $B_i$  按照  $S^*$  的顺序依次在  $M_2$  上从  $\sum_{J_i \in V_1^*} a_i$  时刻开始处理 (如图 3).

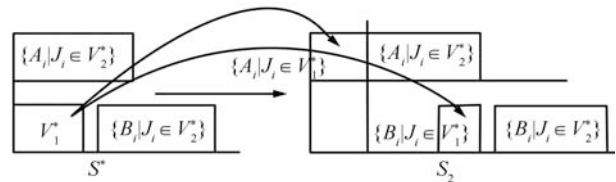


图 3 由  $S^*$  得到的一个调度  $S_2$   
Fig. 3 Schedule  $S_2$  from  $S^*$

显然,  $S_2$  是  $S(PS_2)$  的一个 ReSHFS 调度, 因此由引理 3 可得,  $S(PS_2)$  的目标值不大于  $S_2$  的目标值, 即

$$C_{\max}(S(PS_2)) \leq C_{\max}(S_2) = C_{\max}(S^*) + \sum_{J_i \in V_1^*} a_i \tag{2}$$

由式 (1) 和式 (2), 可得

$$\begin{aligned} C_{\max}(S(PS_1)) + C_{\max}(S(PS_2)) &\leq \\ 2C_{\max}(S^*) + \sum_{J_i \in V_2^*} a_i + \sum_{J_i \in V_1^*} a_i &= \\ 2C_{\max}(S^*) + \sum_{i=1}^n a_i & \end{aligned}$$

由情况 1 的条件可知,  $\sum_{i=1}^n a_i \leq C_{\max}(S^*)$ , 故

$$C_{\max}(S(PS_1)) + C_{\max}(S(PS_2)) \leq 3C_{\max}(S^*)$$

因此

$$C_{\max}(S(H)) \leq$$

$$\min\{C_{\max}(S(PS_1)), C_{\max}(S(PS_2))\} \leq \frac{3}{2}C_{\max}(S^*)$$

情况 2.  $\sum_{i=1}^n a_i > C_{\max}(S^*)$ . 这里我们考虑后两种调度  $S(PS_3)$  和  $S(PS_4)$ .

根据 LS 算法的规则不难得到

$$\sum_{J_i \in V'} a_i \leq \sum_{J_i \in V''} a_i \leq \sum_{J_i \in V'} a_i + a_r \quad (3)$$

先考虑  $S(PS_3)$ . 构造一个  $S(PS_3)$  的 ReSHFS 调度  $S_3$ : 在  $M_1$  上, 从时刻  $a_r$  按任意顺序处理所有  $J_i \in V'$  的工序  $A_i$ ; 在  $M_2$  上, 先在零时刻处理工序  $A_r$ , 接着处理  $J_i \in V''$  的工序  $A_i$ , 然后处理所有的  $J_i \in V$  的工序  $B_i$  (如图 4). 由式 (3) 可知,  $\sum_{J_i \in V'} a_i \leq \sum_{J_i \in V''} a_i$ , 因此在  $M_2$  上的处理过程中不会产生空闲时间, 由此可得

$$C_{\max}(S_3) = a_r + \sum_{J_i \in V''} a_i + \sum_{J_i \in V} b_i$$

不难看出  $S_3$  是  $S(PS_3)$  的一个 ReSHFS 调度, 故由引理 3 可得

$$C_{\max}(S(PS_3)) \leq a_r + \sum_{J_i \in V''} a_i + \sum_{J_i \in V} b_i \quad (4)$$

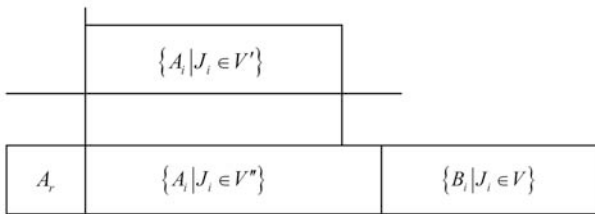


图 4  $S(PS_3)$  的一个 ReSHFS 调度  $S_3$

Fig. 4 A ReSHFS schedule  $S_3$  from  $S(PS_3)$

接下来考虑  $S(PS_4)$ . 同样先构造一个它的 ReSHFS 调度  $S_4$ : 在  $M_1$  上, 先在 0 时刻开始处理所有  $J_i \in V'$  的工序  $A_i$ , 接着处理  $A_r$ ; 在  $M_2$  上, 在 0 时刻开始处理所有  $J_i \in V''$  的工序  $A_i$ , 接着处理所有  $J_i \in V \setminus \{J_r\}$  的工序  $B_i$ , 最后尽可能早地处理工序  $B_r$ , 根据情况有两种可能 (如图 5). 与上面类似可知  $S_4$  是  $S(PS_4)$  的 ReSHFS 调度, 且有  $C_{\max}(S(PS_4)) \leq C_{\max}(S_4)$ .

由图 5 (a) 和 5 (b) 不难看出

$$C_{\max}(S_4) = \sum_{J_i \in V''} a_i + \sum_{J_i \in V} b_i$$

或

$$C_{\max}(S_4) = \sum_{J_i \in V'} a_i + a_r + b_r$$

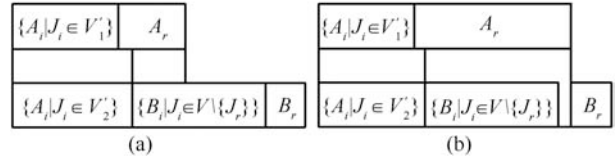


图 5  $S(PS_4)$  的一个 ReSHFS 调度  $S_4$

Fig. 5 A ReSHFS schedule  $S_4$  from  $S(PS_4)$

1) 若  $C_{\max}(S_4) = \sum_{J_i \in V''} a_i + \sum_{J_i \in V} b_i$ , 由式 (3)、引理 4 和情况 2 的条件  $\sum_{i=1}^n a_i > C_{\max}(S^*)$  可知

$$\begin{aligned} C_{\max}(S(PS_4)) &\leq C_{\max}(S_4) = \\ &\sum_{J_i \in V''} a_i + \sum_{J_i \in V} b_i \leq \\ &\frac{1}{2} \sum_{J_i \in V} a_i + \sum_{J_i \in V} b_i = \\ &\sum_{J_i \in V} (a_i + b_i) - \frac{1}{2} \sum_{J_i \in V} a_i \leq \\ &\left(2 - \frac{1}{2}\right) C_{\max}(S^*) = \frac{3}{2} C_{\max}(S^*) \end{aligned}$$

2) 若  $C_{\max}(S_4) = \sum_{J_i \in V'} a_i + a_r + b_r$ , 则

$$C_{\max}(S(PS_4)) \leq \sum_{J_i \in V'} a_i + a_r + b_r \quad (5)$$

由式 (4) 和式 (5), 可得

$$\begin{aligned} C_{\max}(S(PS_3)) + C_{\max}(S(PS_4)) &\leq \\ &\left(a_r + \sum_{J_i \in V''} a_i + \sum_{J_i \in V} b_i\right) + \\ &\left(\sum_{J_i \in V'} a_i + a_r + b_r\right) = \\ &\sum_{J_i \in V} (a_i + b_i) + a_r + b_r \end{aligned}$$

根据引理 4, 不难看出  $C_{\max}(S(PS_3)) + C_{\max}(S(PS_4)) \leq 3C_{\max}(S^*)$ , 即  $C_{\max}(S(H)) \leq \min\{C_{\max}(S(PS_3)), C_{\max}(S(PS_4))\} \leq \frac{3}{2}C_{\max}(S^*)$ .

下面的例子说明  $3/2$  的界是紧的. 考虑三个任务, 各工序的处理时间分别为:  $a_1 = K, a_2 = K, a_3 = 2K; b_1 = 1, b_2 = 1, b_3 = 1$ , 其中  $K \geq 1$ .

最优调度  $S^*$ :  $V_1 = \{J_3\}, V_2 = \{J_1, J_2\}$ , 即工序  $(A_1, A_2)$  依次在  $M_1$  上处理, 而  $(A_3, B_3, B_1, B_2)$  依次在  $M_2$  上处理. 此时最优目标值为  $C_{\max}(S^*) = 2K + 3$ .

表 1  $C_{\max}(H)$  与  $C_{\max}(GL)$  的结果比较  
Table 1 Comparison of  $C_{\max}(H)$  and  $C_{\max}(GL)$

Team	1 (15jobs)	2 (15jobs)	3 (15jobs)	4 (15jobs)	5 (15jobs)	6 (15jobs)	7 (15jobs)	8 (15jobs)	9 (15jobs)	10 (15jobs)										
	12252	82992	60765	94877	85403	6612	31315	40794	10152	14361	30197	1611	21755	44793	60549	50924	80133	26080	58200	74158
	90532	12784	78292	41074	90326	98878	58922	93048	10000	8009	82714	87019	1871	14624	42378	21824	74605	20300	20341	57159
	48062	79454	6043	52233	76012	6417	5193	9875	62623	58986	83212	64378	64833	56633	33457	24543	59033	88930	38307	66570
	7846	65781	42280	22311	16127	62556	71082	5438	10390	55831	87128	37143	43484	4985	72978	62645	79009	63747	77885	61165
	8157	30393	58496	27044	43838	44762	33431	88014	17658	89779	28539	2916	16023	34379	3584	85721	78153	92429	84316	67971
	38792	48951	60273	33795	31429	32471	94356	54058	9836	58270	57406	19492	22616	86296	32806	21739	4717	16730	3444	73693
	34452	79823	8976	71802	75734	11303	61205	23424	79030	84515	34554	23263	51800	64181	21159	52837	67251	14174	36106	70564
	25935	75905	86773	6460	35543	58451	35398	38608	74235	5683	88107	15280	4158	53611	38541	65639	77020	24046	97439	93022
	10006	81666	47358	28063	46840	1685	96721	24666	44792	60752	90970	10420	99084	63600	45981	95760	3367	26454	66753	1356
	30750	74815	85052	87446	22707	71507	49438	2424	67198	1688	17652	32655	68738	93540	84325	94658	51519	83872	94025	37363
	90887	92288	35110	82858	82431	47040	40136	5543	39680	31791	63086	90073	25487	61005	53854	54359	52797	94329	63643	42912
	79553	66805	74054	7804	68560	42172	8357	26101	47152	67961	40635	96612	15616	71736	94641	49875	51447	26977	68813	81867
	13383	53255	58409	6360	9890	51998	10331	96538	66745	30873	32215	32107	4783	31717	73541	82553	35830	98885	86888	90050
	17202	42896	37302	87285	95543	19825	85287	65279	25254	91911	2972	71072	28256	38578	23688	1236	14147	17355	58905	36687
	97285	11322	14976	22140	2093	32641	61594	85278	22904	77915	55462	25322	81345	5827	91269	27312	84927	17631	9872	68130
					88115	75311	26381	69357	80395	35712	24420	62106			23868	38745	22953	10591	20045	13635
					53416	89678	83957	72867	39596	45984	70320	92674			88053	65435	53887	59724	93702	20700
					82604	89642			83159	9651					60813	91155	51547	98543		
					22641	74109			29359	95753					81447	37387	75448	97558		
															35283	52157				
$C_{\max}(H)$	906976	760519	1030937	855528	935261	891200	727376	1080088	1028381	980040										
$C_{\max}(GL)$	1095505	933034	1266694	1114397	1220951	1070837	919867	1441339	1326515	1301739										

不难计算, 算法 H 的四个调度的目标值分别为  $4K + 3$ ,  $4K + 1$ ,  $3K + 3$  和  $3K + 1$ , 由此可得  $C_{\max}(S(H)) = 3K + 1$ . 因此, 当  $K \rightarrow \infty$  时,

$$\frac{C_{\max}(H)}{C_{\max}(S^*)} = \frac{3K + 1}{2K + 3} \rightarrow \frac{3}{2}$$

□

## 2.2 数值结果分析

我们随机挑选了 10 个任务集, 任务数在 15 ~ 20 之间, 工序的处理时间随机的从 1 到 100000 进行选取. 记原有贪婪算法<sup>[12]</sup> 的目标值为  $C_{\max}(GL)$ , 算法 H 的目标值为  $C_{\max}(H)$ . 从表 1 的结果不难看出, 平均情况看,  $C_{\max}(H)$  值比  $C_{\max}(GL)$  的值要小 20% 左右. 由此可见我们的算法无论从绝对性能方面还是实际计算情况来看都大大地改进了原来的算法.

## 3 结论

本文主要研究了一类图形处理中的混合 Flow-shop 调度问题, 设计了一个多项式时间的改进算法, 主要思想是结合平行机调度问题的算法, 在任务处理模式方面引入了四种划分方式并从中选取最好的一种作为结果输出. 主要结论有: 该算法的最坏情况界为  $3/2$ , 改进了原有的  $8/5$  的界; 在实际例子的效果方面, 本算法的目标值比原有的贪婪算法的结果

要小 20% 左右, 因此, 从绝对性能和实际效果都大大改进了已有的结果.

## References

- 1 Wei Q, He Y. A two-stage semi-hybrid flowshop problem in graphics processing. *Applied Mathematics — A Journal of Chinese Universities*, 2005, **20**(4): 393–400
- 2 Kouvelis P, Vairaktarakis G. Flowshops with processing flexibility across production stages. *IIE Transactions*, 1998, **30**(8): 735–746
- 3 Vairaktarakis G, Lee C Y. Analysis of algorithms for two-stage flowshops with multi-processor task flexibility. *Naval Research Logistics*, 2004, **51**(1): 44–59
- 4 Boudhar M, Meziani N. Two-stage hybrid flow shop with recirculation. *International Transactions in Operational Research*, 2010, **17**(2): 239–255
- 5 Besbes W, Teghem J, Loukil T. Scheduling hybrid flow shop problem with non-fixed availability constraints. *European Journal of Industrial Engineering*, 2010, **4**(4): 413–433
- 6 Wang Wan-Liang, Yao Ming-Hai, Wu Yun-Gao, Wu Qi-Di. Hybrid flow-shop scheduling approach based on genetic algorithm. *Journal of System Simulation*, 2002, **14**(7): 863–869 (王万良, 姚明海, 吴云高, 吴启迪. 基于遗传算法的混合 Flow-shop 调度方法. *系统仿真学报*, 2002, **14**(7): 863–869)

- 7 Oguz C, Ercan M F. A genetic algorithm hybrid flow-shop scheduling with multiprocessor tasks. *Journal of Scheduling*, 2005, **8**(4): 323–351
- 8 Zhang Y, Li X P, Wang Q. Hybrid genetic algorithm for permutation flowshop scheduling problems with total flowtime minimization. *European Journal of Operational Research*, 2009, **196**(3): 869–876
- 9 Zhan Y, Qiu C H, Xue K. A hybrid genetic algorithm for hybrid flow shop scheduling with load balancing. *Key Engineering Materials*, 2009, **392–394**: 250–255
- 10 Hu Rong, Qian Bin. A hybrid differential evolution algorithm for stochastic flow shop scheduling with limited buffers. *Acta Automatica Sinica*, 2009, **35**(12): 1580–1586 (胡蓉, 钱斌. 一种求解随机有限缓冲区流水线调度的混合差分进化算法. *自动化学报*, 2009, **35**(12): 1580–1586)
- 11 Gupta J N D, Koulamas C P, Kyparisis G J, Potts C N, Strusevich V A. Scheduling three-operation jobs in a two-machine flow shop to minimize makespan. *Annals of Operations Research*, 2004, **129**(1–4): 171–185
- 12 Wei Qi, Jiang Yi-Wei. Approximation algorithms for a two-stage hybrid flow shop. *Journal of Software*, to be published
- 13 Johnson S M. . *Naval Research Logistics Quarterly*, 1954, **1**(1): 61–68
- 14 Graham R L. Bounds for certain multiprocessing anomalies. *Bell System Technical Journal*, 1966, **45**(9): 1563–1581



蒋义伟 浙江理工大学理学院副教授. 2007 年获浙江大学数学系博士学位. 主要研究方向为组合优化, 调度理论, 算法设计与分析. 本文通信作者.

E-mail: mathjyw@yahoo.com.cn

(JIANG Yi-Wei Associate professor at the Faculty of Science, Zhejiang Sci-Tech University. He received his

Ph.D. degree from the Department of Mathematics, Zhejiang University in 2007. His research interest covers combinatorial optimization, scheduling, design and analysis of algorithm. Corresponding author of this paper.)



魏麒 浙江大学宁波理工学院讲师. 2006 年获浙江大学数学系硕士学位. 主要研究方向为组合优化和调度理论.

E-mail: weiqi@nit.zju.edu.cn

(WEI Qi Lecturer at Ningbo Institute of Technology, Zhejiang University. He received his master degree from the

Department of Mathematics, Zhejiang University in 2006. His research interest covers combinatorial optimization and scheduling.)